

Investigation of the Effect of Anionic and Cationic Surfactants on the Performance of Polyamide Membrane Nanofiltration

M. Sadeghi¹, D. Emadzadeh²

1. MSc Student, Faculty of Chemical Engineering, Gachsaran Branch,

Islamic Azad University, Gachsaran, Iran

2. Assist. Prof. Faculty of Chemical Engineering, Gachsaran Branch,

Islamic Azad University, Gachsaran, Iran

(Corresponding Author) d.emadzadeh@gmail.com

(Received Jan. 7, 2018 Accepted Sep. 13, 2018)

To cite this article :

Sadeghi, M., Emadzadeh, D., 2019, "Investigation of the effect of anionic and cationic surfactants on the performance of polyamide membrane nanofiltration." Journal of Water and Wastewater, 30(4), 122-129.
Doi: 10.22093/wwj.2018.113868.2589. (In Persian)

Abstract

Over the past decades, the sharp increase in population growth and industrialization in developing countries has reduced the quality and quantity of water resources. Water Treatment and purification technologies are rapidly developing in membrane separation processes. In this study, the effect of anionic and cationic surfactants on the performance of polyamide membrane nanofiltration was investigated experimentally. Nanofiltration membranes were constructed by adding anionic surfactant Sodium Dodecyl Sulfate and Hexadecyltrimethyl ammonium bromide cationic with a filming machine. The highest percentage of salt excretion related to the polyamide nanofiltration membrane without adding surfactant with the amount of 16.19% at 180 minutes. Also, the greatest amount of water flowing from the polyamide nanofiltration membrane is related to the time of 30 minutes and the state where the anionic surfactant is added to the membrane by weight of 10%. In this case, the amount of water flowing through the membrane of polyamide nanofiltration was 37.76 L/m^2 . When anionic surfactant was added to the membrane at a rate of 10%, the membrane water flux was 41.48% higher than the pure membrane (no additive).

Keywords: Surfactant, Cationic, Anionic, Membrane, Polyamide, Nanofiltration.



بررسی اثر مواد سورفتانت‌های آنیونی و کاتیونی بر عملکرد غشاء پلی‌آمیدی نانوفیلتراسیون

محمد صادقی^۱، داریوش عمامزاده^۲

۱- دانشجوی کارشناسی ارشد، گروه مهندسی شیمی، واحد گچساران،
دانشگاه آزاد اسلامی، گچساران، ایران

۲- استادیار، گروه مهندسی شیمی، واحد گچساران،

دانشگاه آزاد اسلامی، گچساران، ایران

(نویسنده مسؤول) d.emadzadeh@gmail.com

(دریافت ۹۶/۱۰/۱۷) پذیرش (۹۷/۷/۲۲)

برای ارجاع به این مقاله به صورت زیر اقدام بفرمایید:

صادقی، م.، عمامزاده، د.، ۱۳۹۸، "بررسی اثر مواد سورفتانت‌های آنیونی و کاتیونی بر عملکرد غشاء پلی‌آمیدی نانوفیلتراسیون"

مجله آب و فاضلاب، ۳۰(۴)، ۱۲۲-۱۲۹. Doi: 10.22093/wwj.2018.113868.2589

چکیده

رشد جمعیت و صنعتی شدن کشورهای در حال توسعه باعث کاهش کیفیت و کمیت منابع آب شده است. تکنولوژی‌های تصفیه و خالص‌سازی آب معدنی در فرایندهای جداسازی غشایی به سرعت در حال پیشرفت هستند. در این پژوهش اثر مواد فعال سطحی آنیونی و کاتیونی بر عملکرد غشاء پلی‌آمیدی نانوفیلتراسیون به طور آزمایشگاهی مورد بررسی قرار گرفت. غشاهای نانوفیلتراسیون با افزودن مواد فعال سطحی آنیونی سدیم دودسیل سولفات (SDS) و مواد فعال سطحی کاتیونی هگزا دسیل تری متیل آمونیوم برماید (CTAB) و کاتیونی هگزا دسیل تری متیل آمونیوم بروماید ساخته شد و سپس آنالیزهای میکروسکوپ الکترونی روبشی و طیفسنجی تبدیل فوریه انجام شد. بیشترین درصد دفع نمک مربوط به غشاء نانوفیلتراسیون پلی‌آمید بدون افزودن مواد فعال سطحی با مقدار ۹۱/۱۶ درصد در زمان ۱۸۰ دقیقه به دست آمد. همچنین بیشترین مقدار شار آب عبوری از غشاء نانوفیلتراسیون پلی‌آمید مربوط به زمان ۳۰ دقیقه و حالتی که ۰/۰ درصد وزنی مواد فعال سطحی آنیونی به غشاء افزوده می‌شود که در این حالت مقدار شار آب عبوری از غشاء نانوفیلتراسیون پلی‌آمید $37/76 \text{ L/m}^2.\text{hr}$ حاصل شد. در حالتی که ۰/۱۰ درصد وزنی مواد فعال سطحی آنیونی به غشاء افزوده شد، شار آب عبوری از غشاء ۴۱/۸۰ درصد نسبت به غشا خالص بدون افزودن، افزایش پیدا کرد.

واژه‌های کلیدی: مواد فعال سطحی، سورفتانت کاتیونی، سورفتانت آنیونی، غشا، پلی‌آمید، نانوفیلتراسیون

۱- مقدمه

پدیده لغزش در تقطیر غشایی برای هردو سیال مایع و گاز رخ می‌دهد. غشاهای به کار رفته در فرایند تصفیه آب و پساب، موادی هستند که به برخی از اجزای فیزیکی و شیمیایی اجازه می‌دهند سریع‌تر از سایر اجزا از آن عبور کنند، بنابراین غشاهای دارای خاصیت نفوذ پذیری انتخابی هستند (Boo et al., 2013). خاصیت مهم‌ترین بخش فرایندهای جداسازی ناخالصی‌ها از آب، غشاهای هستند. فرایندهایی که با سیستم غشایی انجام می‌شوند بدليل دارا بودن مزایایی از جمله کاهش انرژی مصرفی، انتقال جرم، حذف مواد جامد، فضای مورد نیاز کم، راندمان بالا و سهولت کاربرد از اهمیت به سزاوی برخوردار هستند (Ahsan and Fukuhara, 2010).



مختلف غشاء مورد نظر، عوامل مختلف از جمله افرودن مواد فعال سطحی آنیونی به غشاء پلی آمیدی نانوفیلتراسیون، افزودن مواد فعال سطحی کاتیونی به غشاء پلی آمیدی نانوفیلتراسیون و مقایسه عملکرد هر دو، به منظور نرم کردن آب سخت مورد بررسی قرار گرفت.

۲- مواد و روش‌ها

مواد به کار رفته در این پژوهش در جدول ۱ آورده شده است.

جدول ۱- مواد شیمیایی به کار رفته در این پژوهش

Table 1. Chemicals used in this research

Materials	Manufacturer
Sodium Dodecyl Sulfate (SDS)	Merck
Hexadecyltrimethylammonium bromide (CTAB)	Merck
Piperazine (PIP)	Merck
Distilled water	Kimia
Sodium chloride (NaCl)	Merck
(TMC) 1, 3 and 5 carbon tetrachloride	Merck

ساخت غشاء نانوفیلتراسیون: محلول پیپرازین (PIP)^۱ با غلظت ۲ درصد جرمی و مواد فعال سطحی (۲۴ ساعت در دمای ۷۰ درجه سلسیوس با همزن مغناطیسی هم زده شده) روی سطح سوبسترا^۲ پلی سولفون که بر روی یک قاب شیشه‌ای چسبانده شده بود، ریخته شد و بعد از مدت زمان ۲ دقیقه تخلیه شد. سپس مقدار محلول باقیمانده روی سطح سوبسترا توسط دستگاه غلتک بر روی قاب شیشه‌ای پهن شد. بعد از آن محلول تری مزوئیل کلرايد (TMC)^۳ که ۲۴ ساعت با همزن مغناطیسی هم زده شده بود، با غلظت ۰/۱۵ درصد بر روی سطح سوبسترا ریخته شد و بعد از گذشت ۱ دقیقه تخلیه شد و بعد غشا با ان-هگزان شستشو داده شد و به مدت ۵ دقیقه درون آون در دمای ۶۰ درجه سلسیوس قرار گرفت. در آخر غشاء ساخته شده با آب قطر شستشو داده شد. (Ghanbari et.al., 2015)

ترکیب غشاهای ساخته شده در جدول ۲ آورده شده است. ارزیابی عملکرد غشاء نانوفیلتراسیون: شکل ۱ سیستم نانوفیلتراسیون جریان متقابل را برای ارزیابی عملکرد غشاء

نفوذپذیری انتخابی با جلوگیری از عبور ناخالصی‌ها سبب خالص‌سازی آب می‌شود. برای رسیدن به این هدف، استفاده از یک نیروی جلوبرنده یا نیروی محركه نیاز است. نیروی محركه لازم شامل اختلاف غاظت، فشار، دما و پتانسیل الکتریکی است. ساده‌ترین نوع غشاهای بر اساس اختلاف اندازه ذرات عمل می‌کنند که از این نظر مشابه فیلترها هستند، ولی غشاهای از نظر اندازه منافذ و نیز نحوه جریان با فیلترها متفاوت هستند. دو پارامتر دبی عبوری از غشا و انتخاب‌پذیری، تعیین‌کننده بازدهی غشاهای هستند (Tretheway and Meinhart, 2002).

در طول دهه‌های گذشته، افزایش شدید در رشد جمعیت و نیز صنعتی شدن کشورهای در حال توسعه باعث کاهش کیفیت و کیمیت منابع آب شده است. تکنولوژی‌های تصفیه و خالص‌سازی آب معدنی در فرایندهای جداسازی غشایی به سرعت در حال پیشرفت می‌باشد، به خصوص به دلیل عملکرد بر جسته آن‌ها در حذف فلزات سنگین، آلاینده‌ها، ذرات گل و میکروارگانیسم‌های موجود از آب (Adibfar, 2012).

عملکرد غشا وابسته به خواص آن از قبیل خاصیت آب دوستی، مقاومت مکانیکی، مقاومت اکسایشی و شیمیایی و اثر ضد رسوب بیولوژیکی است. از میان روش‌های تصفیه موجود، تکنولوژی غشا و به خصوص نانوفیلتراسیون از توجه ویژه‌ای برای تولید آب آشامیدنی برخوردار است (Artug 2007).

محبوبیت غشاء نانوفیلتراسیون را می‌توان به کم بودن هزینه، مصرف پایین انرژی، سیکل ساخت کوتاه، تجهیزات و عملکرد ساده و همچنین سادگی کنترل نسبت داد. نانوفیلتراسیون یکی از مکانیسم‌های فرایندهای تصفیه غشایی است که خیلی از ترکیبات با جرم مولکولی بالا که در آب قابل حل شدن می‌باشند را حذف می‌کند. غشاهای نانوفیلتراسیون اغلب بجز یون‌های با جرم مولکولی پایین که برای بدن انسان مفید می‌باشند، سختی آب را حذف می‌کنند. این غشاهای همچنین مولکول‌های آلی بزرگ مثل رنگ آب، ویروس‌ها، مواد آلی طبیعی و بعضی از نمک‌های را حذف می‌کنند. اندازه حفره‌های غشاهای نانوفیلتراسیون تقریباً ۱۰^{-۳} میکرون می‌باشد (Artug, 2007).

در این پژوهش ابتدا غشاء فیلم نازک کامپوزیتی با استفاده از روش پلیمریزاسیون بین سطحی بر روی زیرلایه پلی سولفونی سنتز شد. سپس با توجه به داده‌های بدست آمده از آزمایش نمونه‌های

¹ Piperazine

² Substrate

³ Tri mesyl chloride



همچنین برای میزان دفع نمک^۱ از معادله ۳ استفاده شد
(Rahimpour et.al, 2012)

$$R = \left(1 - \frac{C_p}{C_f} \right) \times 100 \quad (3)$$

که در این معادله
 C_f و C_p به ترتیب غلظت نمک نفوذ کرده و غلظت نمک در خوراک است.

۳- نتایج و بحث

ساختار غشاها نانوفیلتراسیون ساخته شده (غشاها) نانوفیلتراسیون با افزودن مواد فعال سطحی آئیونی سدیم دودسیل سولفات (SDS)^۲ و مواد فعال سطحی کاتیونی هگزا دسیل تری متیل آمونیوم بروماید (CTAB)^۳ توسط میکروسکوپ الکترونی رو بشی مدل Shimadzu، هیتاچی محصول کشور ژاپن آنالیز شد. مورفولوژی غشاها از طریق SEM^۴ مورد مطالعه قرار گرفت. در شکل ۲ تصاویر SEM ساختار مقطع عرضی و سطح غشاها ساخته شده نشان داده است. شکل ۲ نشان داد که با افزودن مواد فعال سطحی به غشاء نانوفیلتراسیون، با توجه به خاصیت آب دوست بودن مواد فعال سطحی، حفره های درشت در سطح غشا تشکیل شده است. همان گونه که به واضح در عکس های میکروسکوپ الکترونی دیده می شود، هر دو غشای دارای مواد فعال سطحی، ساختاری نامتقارن با لایه جداساز متراکم و حفره های لوله ای مانند در زیر لایه دارند. لذا می توان نتیجه گرفت که افزودن مواد فعال سطحی به غشاء خالص، باعث بوجود آمدن لایه جداساز متراکم تر در مقایسه با غشای خالص شده است. این در حالی است که ظاهرا مقدار تخلخل در زیر لایه که از آن به عنوان لایه نگهدارنده و تأمین کننده مقاومت مکانیکی غشا تعییر می شود، افزایش یافته است.
(Bagheripour et al., 2014).

شکل ۳ آنالیز مربوط به تجزیه ATR-FTIR^۵ غشاها را نشان می دهد. طیف سنج ATR-FTIR مدل UATR، Perkin-Elmer US به منظور نظارت بر تغییرات گروه های عاملی و عناصر در غشای تخت استفاده شد.

جدول ۲- ترکیب غشاها ساخته شده

Table 2. Combined membranes made

No.	PIP (%W _t)	TMC (%W _t)	SDS (%W _t)	CTAB (%W _t)
1	2	0.15	0	0
2	2	0.15	0.05	0
3	2	0.15	0.10	0
4	2	0.15	0.20	0
5	2	0.15	0	0.30
6	2	0.15	0	0.50
7	2	0.15	0	0.70

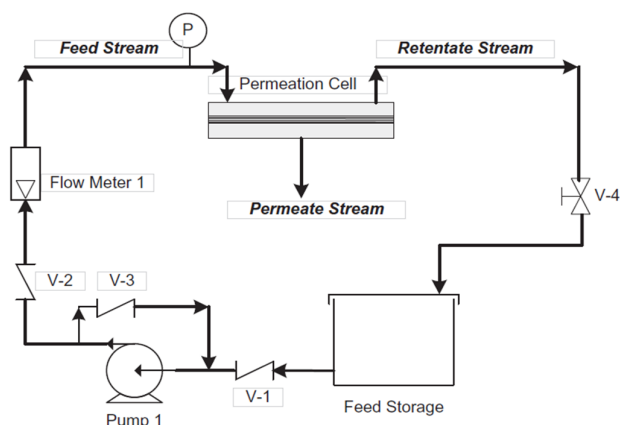


Fig. 1. Nanofiltration system for evaluation of membrane performance

شکل ۱- سیستم نانوفیلتراسیون برای ارزیابی عملکرد غشا

نانوفیلتراسیون پلی آمید نشان می دهد. فرایند نانوفیلتراسیون در شرایط عملیاتی غلظت نمک محلول در آب ۳۰۰۰ ppm^۶، فشار ۶ بار، دبی ۱/۵ لیتر بر دقیقه و دمای ۳۲ درجه سلسیوس انجام شد. برای تهیه محلول خوراک از محلول نمک سدیم سولفات در آب مقطمر استفاده شد. برای بدست آوردن شار آب عبوری از غشاء نانوفیلتراسیون از معادلات ۱ و ۲ استفاده شد، (Rahimpour et.al, 2012).

$$J = \frac{\Delta V}{A_m \cdot \Delta t} \quad (1)$$

$$A = \frac{J}{\Delta P} \quad (2)$$

که در این معادلات

A_m مساحت مؤثر غشا، ΔV حجم آب نفوذ کرده در غشا، Δt زمان و ΔP اختلاف فشار است.

¹ Rejection
² Sodium Dodecyl Sulfate
³ Hexadecyltrimethylammonium bromide
⁴ Scanning Electron Microscope
⁵ Fourier Transform Infrared



عاملی $\text{Br}-\text{O}$ است و نشان دهنده مواد فعال سطحی کاتیونی است. پیک 1530 cm^{-1} مربوط به گروه عاملی $\text{O}=\text{S}=\text{O}$ و مربوط به پلی سولفون است.

شكل‌های ۴ و ۵ درصد دفع نمک و شار آب عبوری از غشاها نانوفیلتراسیون پلی آمید با غلظت‌های مختلف مواد فعال سطحی آنیونی بر حسب زمان‌های متفاوت در شرایط عملیاتی، غلظت ۱/۵ مولول در آب 3000 ppm ، فشار ۶ بار، دبی حجمی $1/5$ لیتر بر دقیقه و دمای 32°C درجه سلسیوس، را نشان می‌دهند. همانطور که مشاهده شود با افزودن مواد فعال سطحی آنیونی سدیم دودسیل سولفات‌ها نسبت‌های متفاوت به غشاء پلی آمید نانوفیلتراسیون و گذشت زمان، درصد دفع نمک با غشاء نانوفیلتراسیون افزایش یافته است. این روند افزایشی در 30 دقیقه ابتدایی فرایند نانوفیلتراسیون دارای شیب تندتری است. برای این پدیده می‌توان این توجیه را ارائه داد که مواد فعال سطحی آنیونی سدیم دودسیل سولفات‌ها خواص مشابه خواص غیرحلال در محلول پلیمری دارند؛ تشکیل پیوندهای سدیم دودسیل سولفات‌پلیمر، باعث ناپایداری بیشتر محلول پلیمری و کاهش اثر متقابل زنجیره‌های پلیمری بر یکدیگر می‌شود. این نوع

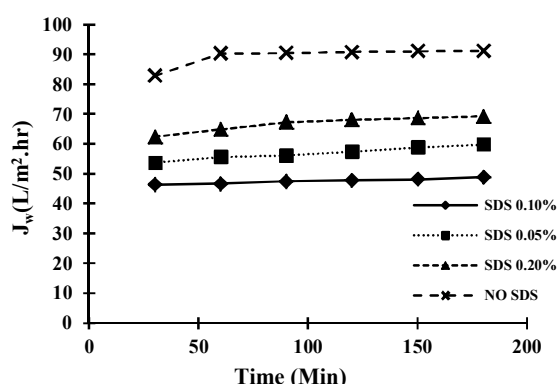


Fig. 4. Salt loss percentage using a polyamide nanofiltration membrane with different concentrations of SDS anion surfactants in different operating times (soluble salt concentration in water 3000 ppm , pressure 1 bar , volumetric flow rate of $1.5 \text{ liters per minute}$, and temperature 32°C)

شكل ۴- درصد دفع نمک با استفاده از غشاء نانوفیلتراسیون پلی آمید با غلظت‌های مختلف مواد فعال سطحی آنیونی SDS بر حسب زمان‌های متفاوت در شرایط عملیاتی (غلظت نمک محلول در آب 3000 ppm ، فشار ۶ بار، دبی حجمی $1/5$ لیتر بر دقیقه و دمای 32°C درجه سلسیوس)

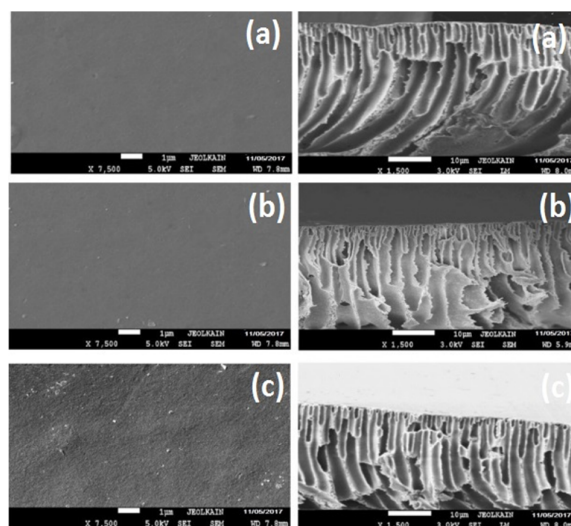


Fig. 2. SEM images of upper surface and cross-section of membranes of nanofiltration, a) polyamide, b) polyamide with cationic surfactants CTAB and c) polyamide with anionic surfactant SDS

شکل ۲- تصاویر SEM سطح فوقانی و سطح مقطع غشاها نانوفیلتراسیون. (a) پلی آمید، (b) پلی آمید همراه با مواد فعال سطحی کاتیونی CTAB با غلظت $70/0$ درصد جرمی و (c) پلی آمید همراه با مواد فعال سطحی آنیونی SDS با غلظت $20/0$ درصد جرمی

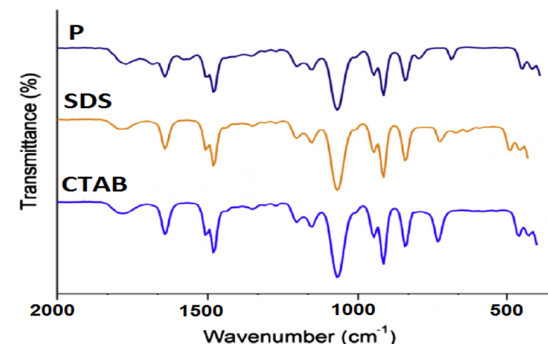


Fig. 3. ATR-FTIR decomposition spectra of membranes

شکل ۳- طیف مربوط به تجزیه غشاها

پیک‌های 1730 cm^{-1} و 591 cm^{-1} به ترتیب به گروههای Na-OH و OH مربوط است که به واسطه مواد فعال سطحی آنیونی SDS ظاهر شده است. پیک 1501 cm^{-1} مربوط به گروه H-O-H است که به واسطه آب روی سطح غشا جذب شده است. همچنین پیک 1634 cm^{-1} مربوط به گروه CH_2 بواسطه حلal به دام افتاده روی سطح غشاء است. پیک 730 cm^{-1} مربوط به گروه

نمک محلول در آب 3000 ppm , فشار 6 bar , دبی حجمی $1/5$ لیتر بر دقیقه و دمای 32°C درجه سلسیوس را نشان می‌دهد. همان‌طور که در شکل‌ها مشاهده می‌شود، با افزودن مواد فعال سطحی کاتیونی هگزا دسیل تری متیل آمونیوم بروماید با نسبت‌های متفاوت به غشاء نانوفیلتراسیون پلی‌آمید و گذشت زمان از شروع فرایند نانوفیلتراسیون، درصد دفع نمک با غشاهای نانوفیلتراسیون افزایش یافته است. این روند افزایشی در 30 دقیقه ابتدایی فرایند نانوفیلتراسیون نسبت به زمان‌های دیگر شبیه تندتری داشت.

با افزودن مواد فعال سطحی کاتیونی هگزا دسیل تری متیل آمونیوم بروماید با نسبت‌های متفاوت به غشاء نانوفیلتراسیون پلی‌آمید و گذشت زمان از شروع فرایند نانوفیلتراسیون، درصد دفع نمک با غشاهای نانوفیلتراسیون افزایش یافت. این روند افزایشی در 30 دقیقه ابتدایی فرایند نانوفیلتراسیون نسبت به زمان‌های دیگر شبیه تندتری داشت. افزودن مواد فعال سطحی کاتیونی هگزا دسیل تری متیل آمونیوم بروماید که حالتی آبدوست با خواصی مشابه خواص غیرحلال در محلول پلیمری دارد، به دلیل تشکیل پیوندهای هگزا دسیل تری متیل آمونیوم

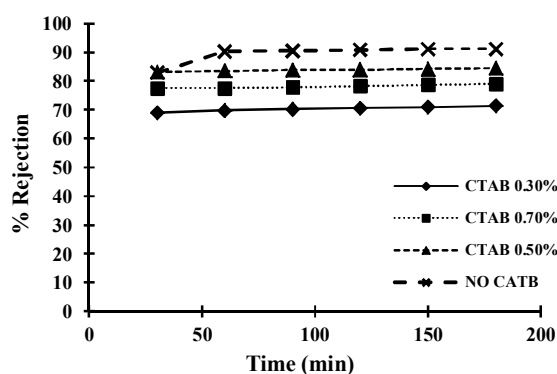


Fig. 6. The percentage of salt excretion using a polyamide nanofiltration membrane with various concentrations of CTAB cationic surfactants in different operating conditions (soluble salt concentration in water, 3000 ppm , 6 bar pressure, volumetric flow rate of $1.5 \text{ liters per minute}$, and Temperature 32°C)

شکل ۶- درصد دفع نمک با استفاده از غشاء نانوفیلتراسیون پلی‌آمید با غلظت‌های مختلف مواد فعال سطحی کاتیونی CTAB بر حسب زمان‌های متفاوت در شرایط عملیاتی (غلظت نمک محلول در آب 3000 ppm , فشار 6 bar , دبی حجمی $1/5$ لیتر بر دقیقه و دمای 32°C سلسیوس)

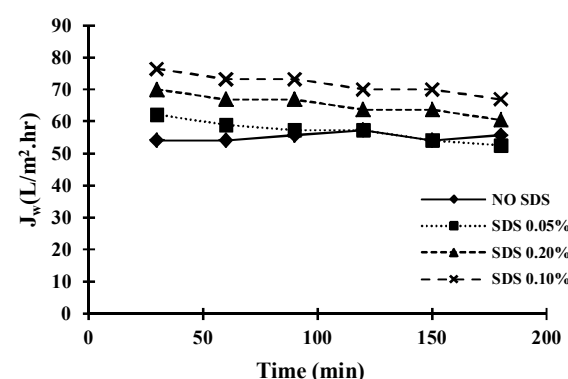


Fig. 5. Flow rate of water passing from the polyamide nanofiltration membrane with various concentrations of anionic surfactant SDS at different operating times (concentration of water soluble salt in 3000 ppm , pressure 6 bar , volumetric flow rate of $1.5 \text{ liters per minute}$ and temperature 32°C)

شکل ۵- میزان شار آب عبوری از غشاء نانوفیلتراسیون پلی‌آمید با غلظت‌های مختلف مواد فعال سطحی آنیونی SDS بر حسب زمان‌های متفاوت در شرایط عملیاتی (غلظت نمک محلول در آب 3000 ppm , فشار 6 bar , دبی حجمی $1/5$ لیتر بر دقیقه و دمای 32°C سلسیوس)

رفتار باعث شکل‌گیری حفره‌های بزرگ در ساختار غشا و کاهش درصد دفع نمک با افزودن مواد فعال سطحی آنیونی نسبت به غشاء خالص می‌شود. همچنین در شرایط مذکور با گذشت زمان، شار آب عبوری از غشاء نانوفیلتراسیون در 30 دقیقه ابتدایی دارای روند افزایشی است و سپس روندی نوسانی و نزولی پیدا کرده است که می‌توان برای این پدیده این توجیه را ارائه کرد که با گذشت زمان پدیده گرفتگی غشا اتفاق افتاده و باعث کاهش شار آب عبوری از غشاء نانوفیلتراسیون پلی‌آمید شده است.

بیشترین درصد دفع نمک مربوط به غشاء نانوفیلتراسیون پلی‌آمید بدون افزودن مواد فعال سطحی آنیونی با مقدار $91/16$ درصد در زمان 180 دقیقه بود. بیشترین مقدار شار آب عبوری از غشاء نانوفیلتراسیون پلی‌آمید مربوط به زمان 30 دقیقه و حالی بود که در $10/0$ درصد وزنی مواد فعال سطحی آنیونی به غشا افزوده شده بود که در این حالت مقدار شار آب عبوری از غشاء نانوفیلتراسیون پلی‌آمید $76/37 \text{ L/m}^2.\text{hr}$ تعیین شد.

شکل‌های ۶ و ۷ درصد دفع نمک و شار آب عبوری از غشاهای نانوفیلتراسیون پلی‌آمید با غلظت‌های مختلف مواد فعال سطحی کاتیونی بر حسب زمان‌های متفاوت در شرایط عملیاتی (غلظت



در سال ۲۰۰۷ در پژوهشی اثر مواد فعال سطحی سدیم دودسیل سولفات به عنوان مواد فعال سطحی آنیونی، ستیل تری متیل آمونیوم برمید به عنوان مواد فعال سطحی کاتیونی و Triton X-100 به عنوان مواد فعال سطحی غیر یونی بر ساختار و عملکرد غشاها پلی اترسولفون ساخته شده از سیستم PES/PVP/DMAC از طریق غوطه‌وری بارندگی مورد بررسی قرار گرفت. نتایج به دست آمده نشان می‌دهد که افزودن مقدار کمی از مواد فعال سطحی، تخلخل لایه غشا و شار آب عبوری را افزایش می‌دهد (Rahimpour et al., 2007).

در سال ۲۰۱۵ در پژوهشی ساخت و اصلاح خواص غشاء نانوفیلتراسیون بر پایه پلی وینیل کلراید با استفاده از ماده فعال کننده سطحی آنیونی سدیم دودسیل سولفات به منظور تصفیه آب مورد بررسی قرار گرفت. اثر غلاظت‌های مختلف ماده فعال کننده سطحی آنیونی و آب دوست سدیم دودسیل بر عملکرد غشاها مورد بررسی قرار گرفت. میزان غلاظت بهینه سدیم دودسیل سولفات برابر با $45/۰$ درصد وزنی تعیین شد که باعث بهبود انتخاب پذیری نمک به میزان $21/۶۷$ درصد در مقایسه با غشاء خالص شد (Moghaddasi et al., 2015).

در پژوهشی در سال ۲۰۱۶ ساخت غشاء نانوفیلتراسیون حاوی نانولوله‌های کربنی با هدف تصفیه آب مورد مطالعه قرار گرفت. نتایج این پژوهش نشان داد که با افزایش غلاظت نانولوله‌های کربنی، ضمن کاهش اندازه حفرات غشا در حد غشاها نانوفیلتراسیون، درصد دفع نمک افزایش یافت (Mesvare et al., 2016).

در سال ۲۰۱۷ در پژوهشی تهیه غشاها نانوفیلتراسیون جدید با استفاده از نانولوله‌های کربنی عامل‌دار به منظور جداسازی پنی‌سیلین از پساب دارویی مورد بررسی قرار گرفت. بر اساس نتایج، غشای نانوفیلتراسیون با $25/۰$ درصد وزنی نانولوله کربنی سولفونه شده، به عنوان بهترین غشا در میان غشاها اصلاح سطحی شده انتخاب شد؛ که بالاترین فلاکس در کنار بیشترین میزان دفع یون‌ها را در جداسازی پنی‌سیلین نشان داد (Dolatabadi et al., 2017).

۴- نتیجه‌گیری

در این پژوهش اثر مواد فعال سطحی آنیونی و کاتیونی بر عملکرد

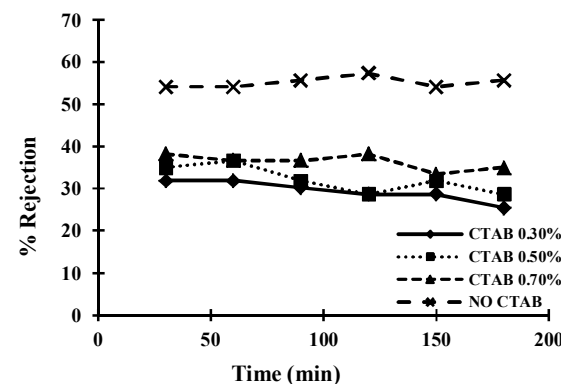


Fig. 7. Flow rate of water passing through a polyamide nanofiltration membrane with various concentrations of CTAB cationic surfactants in different operating conditions (concentration of water soluble salt in 3000 ppm, pressure 6 bar, volumetric flow rate of 1.5 liters per minute, and temperature 32 °C)

شکل ۷- میزان شار آب عبوری از غشاء نانوفیلتراسیون پلی آمید با غلاظت‌های مختلف مواد فعال سطحی کاتیونی CTAB بر حسب زمان‌های متفاوت در شرایط عملیاتی (غلاظت نمک محلول در آب ppm ۳۰۰۰، فشار ۶ بار، دبی حجمی $1/۵$ لیتر بر دقیقه و دمای ۳۲ درجه سلسیوس)

بروماید- پلیمر، موجب ناپایداری بیشتر محلول پلیمری و کاهش اثر مقابل زنجیره‌های پلیمری بر یکدیگر می‌شود. این نوع رفتار باعث شکل‌گیری حفره‌های بزرگ در ساختار غشا و کاهش درصد دفع نمک با افزودن مواد فعال سطحی کاتیونی نسبت به غشا خالص می‌شود.

همچنین در شرایط عملیاتی مذکور شار آب عبوری از غشاء نانوفیلتراسیون در ۳۰ دقیقه ابتدایی روند افزایشی داشت و سپس با گذشت زمان یک روند نوسانی و نزولی پیدا کرد زیرا گرفتگی غشا و پلاریزاسیون غلاظتی سطح غشا، شار آب عبوری از غشاء نانوفیلتراسیون پلی آمید را کاهش می‌دهد.

بیشترین درصد دفع نمک مربوط به غشاء نانوفیلتراسیون پلی آمید بدون افزودن مواد فعال سطحی کاتیونی با مقدار $۹۱/۱۶$ درصد در زمان ۱۸۰ دقیقه بود و بیشترین مقدار شار آب عبوری از غشاء نانوفیلتراسیون پلی آمید مربوط به زمان ۱۲۰ دقیقه و بدون حضور مواد فعال سطحی کاتیونی در غشا بود که در این حالت مقدار شار آب عبوری از غشاء نانوفیلتراسیون پلی آمید $۵۷/۲۸$ L/m².hr حاصل شد.



غاظتی سطح غشا موجب کاهش شار آب عبوری از غشاء نانوفیلتراسیون پلی آمید می شود.

- بیشترین مقدار شار آب عبوری از غشاء نانوفیلتراسیون پلی آمید مربوط به زمان ۳۰ دقیقه و حالتی بود که $10/0$ درصد وزنی مواد فعال سطحی آنیونی سدیم دودسیل سولفات به غشا افزوده شده بود، که در این حالت مقدار شار آب عبوری از غشاء نانوفیلتراسیون پلی آمید $76/37 \text{ L/m}^2.\text{hr}$ بودست آمد.

۵- قدردانی

نویسنده‌گان از حمایت‌های همه جانبه مرکز تحقیقات و فناوری غشا دانشگاه آزاد اسلامی واحد گچساران تشکر و قدردانی می‌کنند. این مقاله مستخرج از پایان نامه کارشناسی ارشد با کد ۱۴۹۰۲۰۱۹۵۲۰۱۰ است.

غشاء پلی آمیدی نانوفیلتراسیون به طور آزمایشگاهی مورد بررسی قرار گرفت و نتایج زیر حاصل شد
- در صد دفع نمک با غشاهای نانوفیلتراسیون پلی آمید با غاظت‌های مختلف مواد فعال سطحی آنیونی و کاتیونی بر حسب زمان‌های متفاوت در شرایط عملیاتی غلظت نمک محلول در آب 3000 ppm ، فشار 6 bar ، دبی حجمی $1/5 \text{ لیتر بر دقیقه}$ و دمای 32°C درجه سلسیوس، روند افزایشی داشت.

- بیشترین درصد دفع نمک مربوط به غشاء نانوفیلتراسیون پلی آمید بدون افزودن مواد فعال سطحی با مقدار $91/16$ درصد در زمان 80 دقیقه بود.

- در شرایط عملیاتی با گذشت زمان، شار آب عبوری از غشاء نانوفیلتراسیون در 30 دقیقه ابتدایی روند افزایشی، سپس کاهشی و در نهایت حالت نوسانی پیدا کرد زیرا با گذشت زمان از انجام فرایند نانوفیلتراسیون، پدیده گرفتنگی غشا و حالت پلاریزاسیون

References

- Adibfar, A. 2012. Technical economic comparison of MED, MSF & RO, and select the optimized desalination technologies. *Solar Energy*, 4(61), 44-91.
- Ahsan, A. & Fukuhara, T. 2010. Modelling and simulation of nanofiltration membranes. *Cuvillier Verlag*, 21, 37-32.
- Artug, G. 2007. Modelling and simulation of nanofiltration membranes. *Cuvillier Verlag*, 21, 32-37.
- Bagheripour, E., Moghadassi, A. R. & Hosseini, S. M. 2014. Novel nanofiltration membrane with low concentration of polyvinylchloride: investigation of solvents' mixing ratio effect (Dimethyl acetamide/Tetrahydrofuran). *Arabian Journal of Chemistry*, 12, 32-34.
- Boo, B., Elimelech, M. & Hong, S. 2013. Fouling control in a forward osmosis process integrating seawater desalination and wastewater reclamation. *Journal of Membrane Science*, 444, 148-156.
- Dolatabadi, M., Ahmad Akbari, M. Karampour, F. & Younes Nia Lehi, A. 2017. Preparation of new nanofiltration membranes using functional carbon nanotubes to separate penicillin from medicinal waste. *First International Conference on Modern Technologies in Science*, Amol, Amol University of Technology, 1-7. (In persain).
- Ghanbari, M., Emadzadeh, D., Lau, W.J., Matsuura, T., Davoodi, M. & Ismail, A.F. 2015. Super hydrophilic TiO₂/HNT nanocomposites as a new approach for abraction of high performance thin film nanocomposite membranes for FO application. *Desalination*, 371, 104-114.
- Mesvare, S., Arojalian Mashhadi, A. & Reyesi, A. R. 2016. Nanofiltration membrane containing carbon nanotubes for water purification. *Iran Water and Wastewater Science and Engineering Congress*, Tehran, Iran Water and Wastewater Association (affiliated with the Commission of Scientific Society of Iran) - Tehran University - Water and Sewage Engineering Company of Iran, 1-6. (In persain).
- Moghaddasi, A., Bagheripoor, E. & Hosseini, S.M. 2015. Construction and modification of polyvinyl chloride-based nano-filtration membrane properties using a sodium iodide-sulfate anionic surfactant for water purification. *Petroleum Research*, 25, 61-71.
- Rahimpour, A., Madaeni, S.S. & Mansourpanah,Y. 2007. The effect of anionic, non-ionic and cationic surfactants on morphology and performance of polyethersulfone ultrafiltration membranes for milk concentration. *Journal of Membrane Science*, 296, 110-121.
- Rahimpour, M., Jahanshahi, A. & Mollahosseini Rajaeian, B. 2012. Structural and performance properties of UV-assisted TiO₂ deposited nano-composite PVDF/ SPES membranes. *Desalination*, 285, 31-38.
- Tretheway, D.C. & Meinhart, C.D. 2002. Apparent fluid slip at hydrophobic microchannel walls. *Physics of Fluids*, doi: 10.1063/1.1432696.

